

解説

UDC 669.184.244.22

底吹き転炉製鋼法の最近の進歩*

中西 恭二**・三本木 貢治**

Recent Development of Q-BOP/OBM Steelmaking

Kyoji NAKANISHI and Koji SANBONGI

1. 緒言

最近、ヒートサイズが 100 t を超える大型の純酸素底吹き転炉が世界の各所で稼動を始め、底吹きならではの特徴ある炉内反応が報告されるようになつてきた^{1)~9)}。LD 転炉に主役の座を奪われて、すでに久しい底吹き転炉が、今日急に復活をみたのは、ひとえに純酸素ガスの吹き込み技術が向上したことによる。

著者は、まず底吹き転炉の歴史的変遷について述べ、つづいて、今日の純酸素底吹き転炉製鋼法について、公表された最新のデータをもとに解説する。

2. 底吹き転炉の変遷

転炉の炉底から空気を吹き込むベッセマー法(酸性底吹き転炉)は 1856 年に特許がとられ、1860 年に工業化された。これは脱炭炉としては優れていたが、脱磷、脱硫に劣つていた。そこで 1879 年トーマス法(塩基性底吹き転炉)の出現をみる。塩基性ライニングと造渣剤としての石灰の使用により脱磷吹鍊が容易となつたため高磷銑を対象とするヨーロッパでは、トーマス法が発展した。この際、副産物としてのスラグがトーマス磷肥として利用されることも利点であつた。

空気の代わりに純酸素を吹き込む方が、冶金反応上好ましいことは、底吹き転炉の開発当初からの常識であつた。これはベッセマー法から約 1 世紀にわたる技術の積み上げによつて、近年やつと実現したのであるが、その口火となつたのは、何といつても 1950 年代初期に実現した安価な純酸素製造技術の確立であり、その後から純酸素を製鋼工程に使うため、幾多の努力が払われた。最初の試みはベッセマー法でなされたが、酸素の富化率は 40% が限度で、これ以上では羽口および炉底耐火物が著しく損傷することが明らかとなつた。結局 1950~1960 年代には底吹き転炉に純酸素は使用できないという考えが支配的であつた。

一方、上吹き転炉 LD が発明されたのは 1946 年であり、底吹き転炉への純酸素吹き込みの失敗から当然の結果として、純酸素吹き込み技術は LD とともに進展することになる。1952 年オーストリーの Voest に 35 t の LD 転炉が建設されたのをきっかけに、1960 年にははや粗鋼生産量にして 1500 万 t/y にまで急成長した。LD 法は優れた生産性と、鋼材の良品質(とくに低 N 鋼の溶製が可能)により低磷銑に対して、その威力をいかんなく発揮したが、高磷銑の吹鍊には不向きのため、トーマス法も依然として存続の余地が残された。この間高磷銑を対象に LD-AC 法、カルド法などの新技術も登場したけれども、いずれも決定打とはならなかつた。

このような状況下において、カナダの液体酸素メーカーである Canadian Liquid Air は純酸素の需要増大のため、純酸素吹き込みに耐え得る新羽口の開発に着手し、1965 年、2 重管羽口を発明しヨーロッパのトーマス炉への壳込みに成功する。すなわち 1968 年 3 月、Eisenwerk Gesellschaft Maximilians-Hütte MBH (Sulzbach Rosenberg) において 25 t トーマス転炉は、上述の 2 重管羽口をとりつけた 30 t 炉に改造され、OBM (Oxygen Bottom Maxhütte) と呼ばれる。この 30 t OBM は、鋼中 N 濃度が従来の 100 ppm から 20 ppm へと低下し、また炉底寿命が 100 回から 200 回以上に伸びるなど、期待どおりの成果をあげた。2 重管羽口の内管通路は、純酸素が流れるが、アニュラス部(内、外管の間隙通路)はプロパンなどの炭化水素ガスが流れ、これが C と H₂ に分解する際の吸熱を利用して、羽口先端の高温部を集中的に冷却する。こうして羽口寿命は純酸素を使用しても飛躍的に伸びる。

その後 Maxhütte では 5 t OBM を用いて、本法が低磷銑の吹鍊にも適することを確認する。この OBM プロセスに注目していた米国最大の鉄鋼会社、US スチールは、遂に 1971 年、OBM プロセスの特許を買い、みずからも South Chicago に 30 t の実験炉をつくり、大

* 昭和 53 年 8 月 10 日受付 (Received Aug. 10, 1978) (依頼解説)

** 川崎製鉄(株)技術研究所 工博 (Research Laboratories, Kawasaki Steel Corp., 1-1 Kawasaki-cho Chiba 260)

型化にも十分耐えられることを確信する。こうして1972年 LD の建設予定を覆して、Gary 工場に 200 t の純酸素底吹転炉 3 基を設置し、Q-BOP (Q-Basic Oxygen Process) と呼ぶ。ついで 1974 年同 Fairfield 工場の 230 t 平炉 12 基も、2 基の 180 t Q-BOP にリプレースされ、Q-BOP 法が確立する。

一方、ベルギーの CRM (Centre de Recherches Metallurgiques) と、フランスの 3 製鉄会社 (Creusot-Loire, Wedel-Sidelor および Sprunk) は、OBM とは独立に、羽口冷却剤に液体燃料を用いた LWS 法を OBM とほぼ同時期に開発した。これは、その後、Creusot-Loire 社とスエーデンの Uddeholm 社によりステンレス鋼の精錬炉、CLU 法にも発展する。

OBM と Q-BOP は同一のプロセスを意味し、ヨーロッパでは前者の名で呼ばれ、他の世界では Q-BOP と呼ばれており、Q は quick, quiet, quality などの Q を意味する。さて、OBM/Q-BOP はその後も順調に伸び、1973 年ヨーロッパにおける 10 社のトーマス炉が OBM に切換えられた。1976 年には Thy-Marcinelle (ベルギー) で 150 t Q-BOP が 3 基稼動、日本川鉄でも 1977 年 2 月以来、230 t Q-BOP が 2 基順調に稼動している。この他 Republic Steel (South Chicago) でも、1977 年 3 月より 200 t 炉が 2 基稼動し、U. S. Steel (Fairfield) でも No. 3 Q-BOP が操業を始めた。

現在鉄鋼業界は深刻な不況下にあり設備投資の意欲はそがれているが、大型 Q-BOP 炉の建設が、Italsider (Cornigliano), USINOR (Longwy), ATH (Ruhrort) で進められている。このように、1977 年度の OBM/Q-BOP 設備は、粗鋼生産能力で 3500 万 t/y に達しておりこの 10 年の歳月でめざましい発展をとげたのである。

3. Q-BOP 設備の特徴

Fig. 1 に一例⁹⁾として Q-BOP の炉体プロフィルとれんが積みの概略を示す。図にみる如く炉底分離式である。炉底れんがは Fig. 2 の例⁹⁾のごとく築造される。この場合羽口は 6 本となつていて、Fig. 3¹⁰⁾は底吹き 2

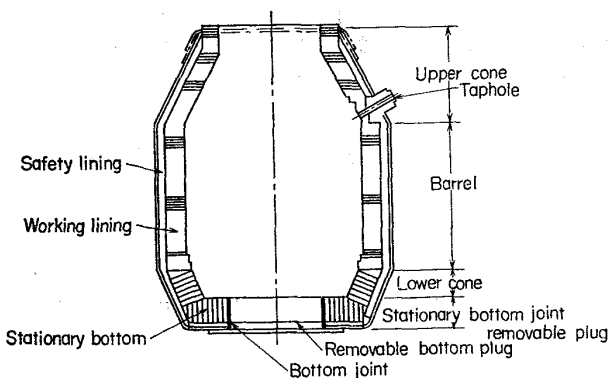


Fig. 1. Profile of a Q-BOP furnace⁹⁾.

重管羽口構造を示す概念図である。

実際の羽口数は Fig. 2 の 6 本よりはかなり多く、川鉄千葉の Q-BOP を例にとれば、18 本と 22 本の 2 種類を使い分けている。Thy-Marcinelle の 150 t 炉でも 12 本と 18 本の 2 種類を使用している⁹⁾。羽口配列の中で最も一般的な形体は、炉底面と直角に配向 (Fig. 2) しかつ炉傾動軸に対して対称となるよう分布させたものである。しかしそよよい攪拌を得るために傾斜さ

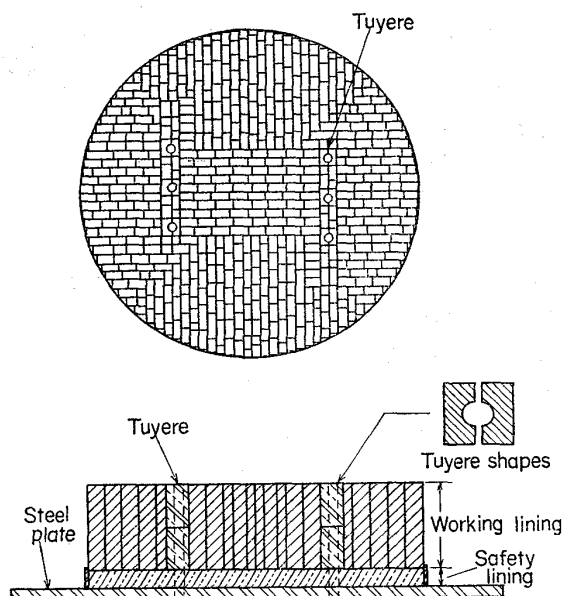


Fig. 2. Use of preformed shapes for bottom construction⁹⁾.

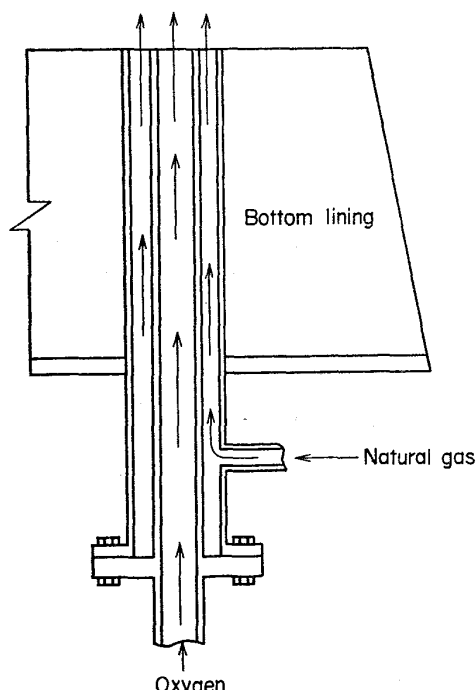


Fig. 3. Oxygen tuyere jacketed with hydrocarbon¹⁰⁾.

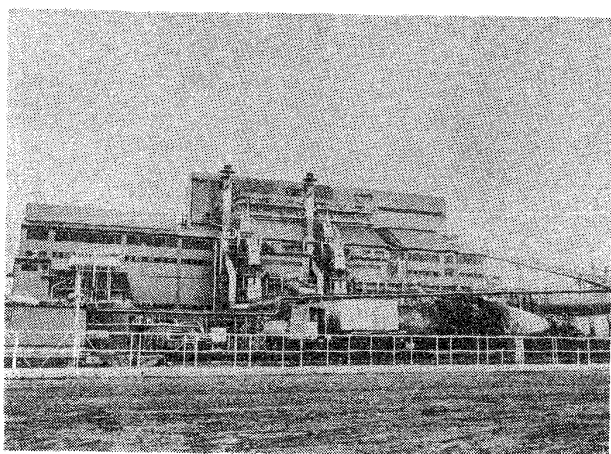


Photo. 1. Overall view of No. 3 Steelmaking Shop at Chiba where two Q-BOP furnaces of 230 t are equipped.

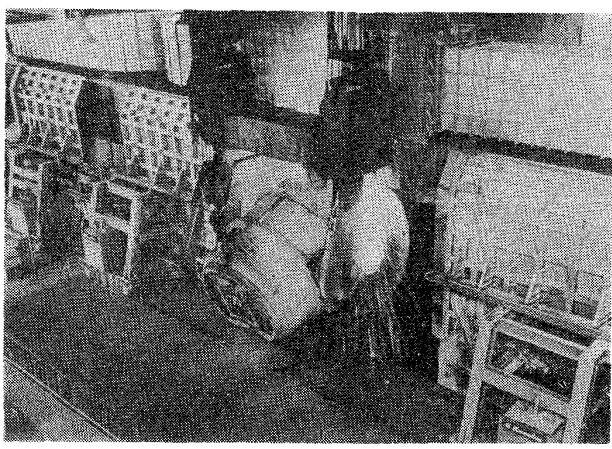


Photo. 2. Hot metal is being charged into one of Kawasaki's new 230 t Q-BOP furnaces.

せた羽口配向や、非対称分布をとることもある。後述するが、Thy-Marcinelle の 12 本羽口は傾斜羽口の例である。

羽口冷却用の炭化水素ガスとしては、天然ガス、プロパンなどのいずれかが、各工場の立地条件に応じて選択されている。これらのガスは、ガス顯熱のみで冷却するアルゴンガスなどと異なり、高温領域で C と H₂ に分解して吸熱効果大であるので、羽口寿命は著しく向上する。アルゴン・ガスは 298°K から 1800°K に定圧変化して、約 14kcal/mol の吸熱に過ぎないが、プロパンのそれは分解熱も含めて 79kcal/mol と約 6 倍大きな吸熱量となる。

脱磷、脱硫反応をより効率よく行なうために、羽口内管からは、焼石灰、萤石および石灰石などの造渣剤粉末を酸素ガスとともに吹き込むことができる。一方、精錬ガスとしては、アルゴン、窒素などもあり、精錬目的に応じた多様性を備えている。

Q-BOP では BOP のように酸素上吹ランプがないので、建屋高さを低くできる。この点は、平炉工場を Q-BOP にリプレースする場合に新たな建屋を必要としないので有利となる。米国では、いまだに多くの平炉工場が低能率の操業をつづけているが、これらが将来 Q-BOP に改造されるものとすれば、粗鋼生産能力にして 3700万 t/y に匹敵する Q-BOP の潜在需要があることになる。ところで川鉄千葉では吹鍊の自動化のためセンサーランスを設けており、LD 工場と同等の建屋高さとなつている。

その他 Q-BOP 工場特有の設備としては、炉底分離式のために炉底交換機などの付帯設備、および吹き込み造渣剤の粉碎設備などがあげられる。

Photo. 1 に 230 t Q-BOP 炉 2 基を設置した千葉製鉄所第3製鋼工場の外観を、また Photo. 2 に同工場における溶銑装入中の炉前を示す。Photo. 1 において、炉

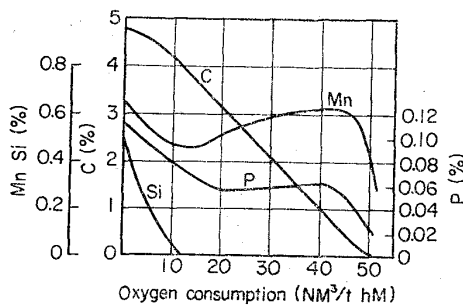


Fig. 4. Change of bath composition in the course of blowing³⁾.

頂ホッパーへの副原料搬入用のベルトコンベヤーが、写真右端から転炉工場へと立上がりついている。また 2 本の煙突は転炉廃ガスの未燃焼回収設備 (OG) における放散塔であり、写真中央手前には、第 3 製鋼工場と同時に建設された第 6 高炉 (生産能力 10,000t/d) から溶銑を輸送する 350 t トピード・カーも見える。

4. Q-BOP 吹鍊中の諸成分の挙動

以下、川鉄千葉における 230 t Q-BOP について、川名らが得たデータ^{1)~4)}を中心、吹鍊中の諸成分の挙動をみてみよう。

4.1 各成分のおおまかな動き

Fig. 4, 5 にそれぞれ吹鍊中の鋼浴成分とスラグ成分の推移を示す³⁾。これらは溶銑率 100%, 送酸速度 600~700Nm³/min, および冷却剤として鉄鉱石およびミルスケールを使用したヒートであり、吹鍊中のサンプルはセンサーランスあるいは、吹鍊中断後倒炉によつて取られた。図の横軸の酸素には固体酸素も含まれる。吹鍊初期は Si と Mn の優先酸化が進むが、中期の脱酸効率はほぼ 100% であり、鉄鉱石、ミルスケール中の酸素も完全に分解して脱炭に寄与する。これは LD と異なる点で Q-BOP 鋼浴の強攪拌の効果といえる。Mn の酸化

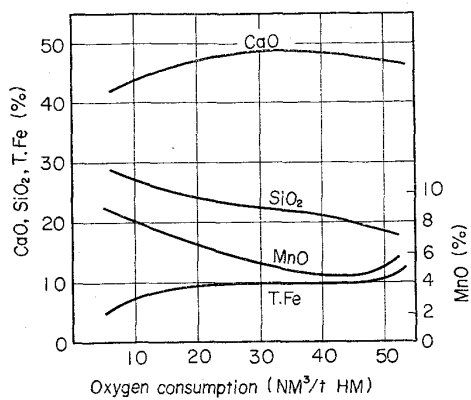


Fig. 5. Change of slag composition in the course of blowing³⁾.

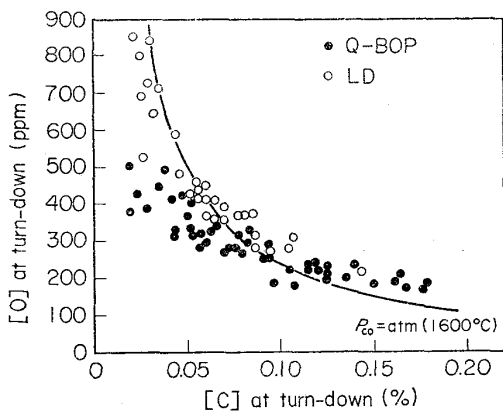


Fig. 6. [C] vs. [O] relationship at turn-down¹⁾.

は LD の場合、吹鍊初期に溶銑 Mn の 70% 以上が酸化されるのに対し、底吹き転炉では 30~40% と少なく後述するように吹き止め時の高歩止りをもたらす。鋼浴の攪拌が終止一貫して保証されるため、Cによる(FeO)の還元が進み、スラグ中の(FeO)濃度は LD に比較して低い。

4.2 [C]-[O] 平衡

Fig. 6 に吹き止め時の [C] と [O] の関係を、LD と対比して示す¹⁾。LD は CO 分圧が 1atm の平衡関係をほぼ満足する。Q-BOP での [C]-[O] 関係は、[C] が 0.07% 以下では、1 atm より低い CO 分圧側にシフトする。これは鋼浴中の C が少なくなるにつれて、冷却ガスの分解によって生じるガスの影響が大になることを意味する。

Fig. 7 は同様の関係を、川鉄実験炉 5 t Q-BOP のデータも含めて示したものである⁵⁾。これより 5 t Q-BOP の場合 [C]-[O] 関係は CO 分圧が 0.4 atm の平衡曲線の上にある。Q-BOP の極低炭素領域について、[O] の活量は (FeO) 飽和を仮定して求め、さらに炉内ガスはすべて冷却ガスの分解と酸化によって生成したものと仮定して平衡論的計算を進めると、脱炭限界 [C] 濃度、

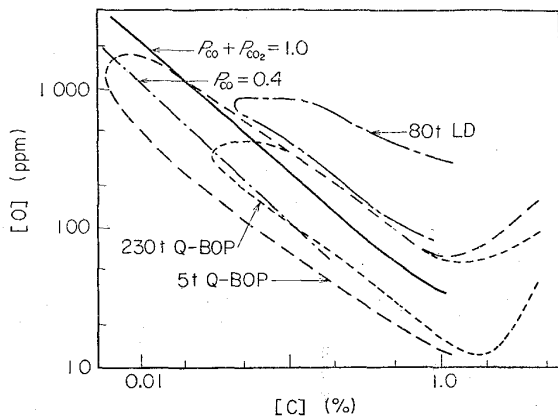


Fig. 7. [C] vs. [O] relationship in Q-BOP and LD⁵⁾.

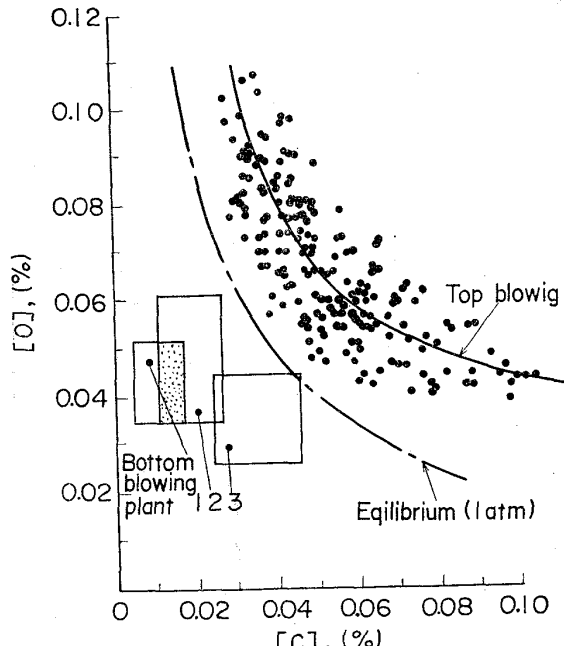


Fig. 8. [C] vs. [O] relationship in OBM with high phosphorus pig iron¹⁴⁾.

[C]_e として、0.004%，CO 分圧として 0.4 atm を得る。実際の [C]_e は鉄歩止りを無視した 5 t 炉で 0.006% と上記理論値に近く、また 230 t 炉で 0.01% であり、LD 転炉の 0.025% に比較して低い。ここで誤解のないよう付記すると、実炉ではひきつづく Ar リンスにより 0.004% の極低炭素濃度も得られている。

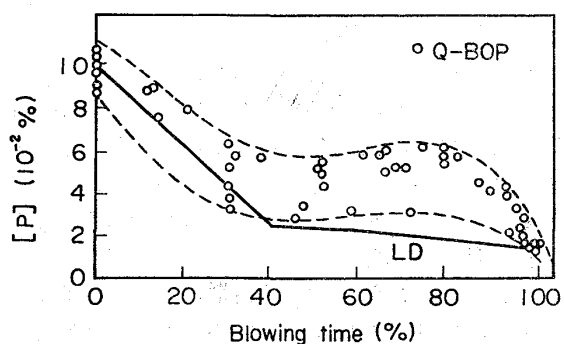
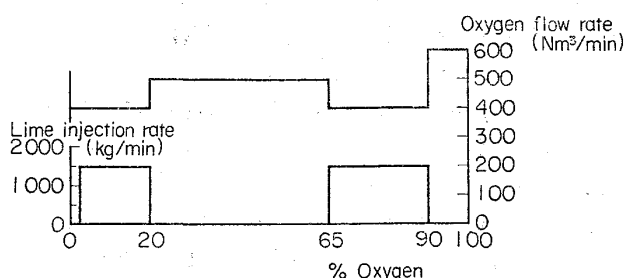
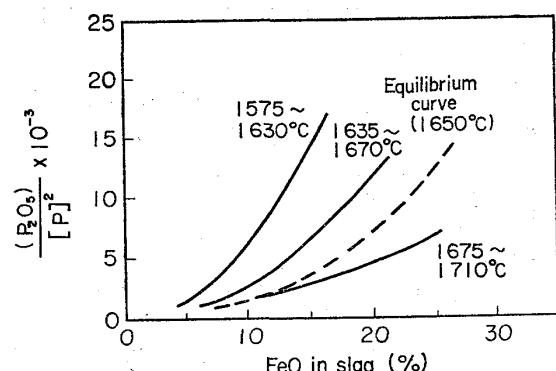
このように、低炭素領域における P_{CO} は、使用する冷却ガスの種類によって異なるので、[C]-[O] 曲線は、各工場によつて少しづつ異なるはずである。Fig. 8 はヨーロッパの OBM を有する工場についてその様子を示している¹⁴⁾。図において BOP (LD) のデータが $P_{\text{CO}} = 1 \text{ atm}$ より上側へ偏倚しているが、これは高磷銑吹鍊のため、かなりソフトプローであつたものと推察される。

以上のように、(イ) 極低炭素鋼が脱ガス工程を省略

Table 2. Phosphorus contents in ladle (200t Q-BOP at Gary.)

Heats within phosphorus range

Steel carbon in ladle (%)	Steel phosphorus in ladle (%)					
	<0.010	0.010~0.014	0.015~0.019	0.020~0.024	0.025~0.029	0.030~0.034
0.10 maximum	91.0	8.2	0.8	0	0	0
0.11~0.30	47.5	31.6	13.9	4.0	2.0	1.0
0.30~0.50	3.9	19.2	73.0	3.9	0	0
Over 0.50	0	0	80.0	20.0	0	0

Fig. 11. Change of phosphorus content during blowing¹⁾.Fig. 13. Description of the reference practice⁷⁾.Fig. 12. Influence of the temperature on the $(\text{P}_2\text{O}_5)/[\text{P}]^2$ - (FeO) relation⁸⁾.

をする限り、LD よりも脱磷反応がやや遅れて進行するが、鉄源歩止りが LD より高いという利点は遺憾なく発揮される。

Fig. 11 に吹鍊中の $[\text{P}]$ の変化を Q-BOP と LD で対比して示す¹⁾。川鉄千葉では現在高炭素鋼の必要がないので、データを持ち合わせていないが、0.6% C のレール材を多量に製造している Gary 工場の 200t Q-BOP について、取鍋 $[\text{P}]$ 濃度の分布をみれば Table 2 のようである。これより LD と比較して遜色ない成績であり、とくに低炭素鋼 (<0.1% C) の場合は Q-BOP の方が優れている。

TURKDOGAN は P についても enhanced vaporization による脱 P 機構を提唱している。すなわち羽口直上のガ

ス中の高い O_2 分圧により、 $\text{PO}(\text{g})$ が生成しこれが固体石灰により迅速に $\text{Ca}_3\text{P}_2\text{O}_8$ として固定されるため、LD にはない強力な脱 P が起こるとしている。すなわち、LD では火点で $\text{Fe}_2\text{P}_2\text{O}_8$ なる鉄磷酸塩が生成するが、これは不安定であるので、 $[\text{C}]$ により再還元されやすいのに対し、Q-BOP では $\text{Ca}_3\text{P}_2\text{O}_8$ と安定であるので再還元速度は遅く、とくに低 C 域での脱 P が顕著に進むと説明している。

4.4.2 高 P 鋼の場合

OBM においてメタルとスラグの酸化力を比較すればメタルの方が高いといった指摘⁹⁾があるが、これは前述の $[\text{Mn}]$ の挙動からみても、はなはだ疑問である。

高 P 鋼を one slag 法で精錬した際の P 分配を調べ、Fig. 12 を得ている⁸⁾。ここに CaO 粉末の吹き込みは吹鍊未期に集中している。図より OBM における脱 P は熱的平衡関係以上に進んでいるが、それは過渡的現象によるものと推論している⁸⁾。

このように溶銑の $[\text{P}]$ 濃度が高いほど、OBM/Q-BOP は LD よりも優位に立つ特徴を踏まえて、BROTMANN らは低 P 鋼の吹鍊方法についても見直している⁸⁾。すなわち、鉄鉱石の低品位化、転炉スラグの再利用などの観点から、今後 0.4% $[\text{P}]$ 程度の溶銑を用いた方が高炉-OBM/Q-BOP 法全体でのコスト・ダウンにつながるとしている。実際ヘマタイト鉄に P を添加し 0.4% $[\text{P}]$ として、double slag 法（前回スラグを残し、中間排滓後再吹鍊）で吹鍊したところ、中間排滓時で 0.01~0.02% $[\text{P}]$ 、4~5% (P_2O_5) となり、再吹鍊で CaO 原単位 20kg/t-steel 使用して 0.006~0.007% $[\text{P}]$ に仕上がった。

以下高P銑吹鍊の今一つの実例として、Thy-Marcinelleの150t OBMの報告⁷⁾を引用する。先と同様に前回ヒートのスラグを炉内に残してリサイクル使用している。吹鍊の基準パターンはFig. 13のようであり、CaO粉末は吹鍊の前期と後期のみ吹き込む、いわゆるU型を採用している。基準パターンでのCaO原単位は、前期35kg/t-steel、後期51kg/t-steelと多量である。溶銑[P]は1.7%と高い。インプットPの約50%が前期吹鍊で除かれている。

Fig. 14は12本の傾斜羽口と18本の直立羽口で、脱C、脱P速度を比較したもので、送酸素速度が同一の場合、冶金反応におよぼす羽口配列の影響は小さいことを示している。スラグ組成はFig. 15のようであり、吹鍊酸素の75%の時点では2液相分離しているが、吹鍊末期ではCaO飽和スラグとなり、次回ヒートに再利用される。

CaOの添加法として、全量初期添加(A法)および前、後期2分割添加(B法)を比較している。吹き止め[P]濃度の実績値と理論値の比として脱P能を表示すれば、A法が1.63(0.016%[P])、B法が1.21(0.012%)

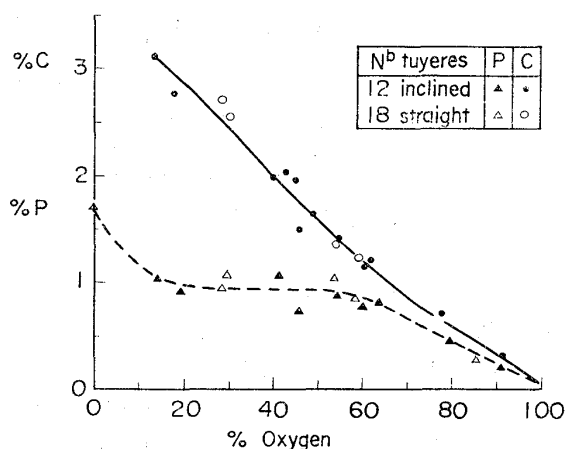


Fig. 14. Influence of tuyere pattern on P and C removal⁷⁾.

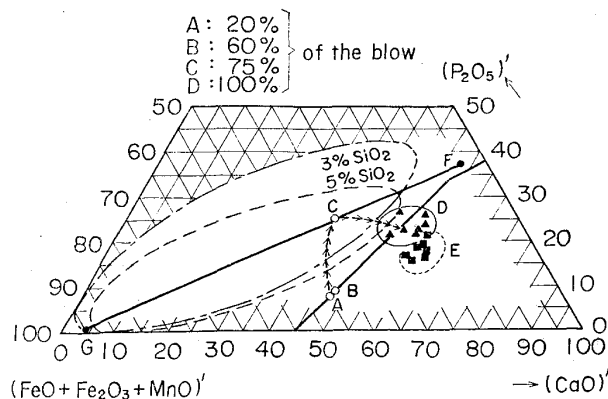


Fig. 15. Slag path during an OBM heat. (reference practice) (section at 1600°C in the ternary diagram⁷⁾).

[P])であった。またCaF₂を3kg/t-steel併用すると、A法が1.33、B法が1.16にそれぞれ向上した。以上のごとく、造渣剤の原単位が同一でも、脱P促進のための最適添加法が存在する。

4・5 脱S反応

炉内PcoがLDよりも低いこと、攪拌が最後まで持続することなどのため、当然予期されるようにQ-BOPの脱硫能力は大である。Fig. 16は川鉄千葉のデータ⁴⁾であり、スラグ-メタル間のS分配比をスラグ塩基度の関数として示している。これよりQ-BOPの脱S能は、とくに塩基度が2.5以上でLDより格段に優る。Fig. 17は低S鋼溶製時の溶銑[S]と吹き止め[S]の関係であり、低S域でもQ-BOPに脱S能のあることが明瞭である。このように、Q-BOPでは炉外脱硫剤を削減して炉内での脱硫に切り換えられるので、脱S上のコストダウンは大きい。

吹鍊途中の[S]を追跡すると、0.8%[C]付近で鋼浴[S]は最小値となり、その後スラグの酸化度の増加につれていつたん復硫し、吹鍊後期のスラグの流動性の向上とともに再び[S]は低下する、といった経路を辿る。この前期の脱S反応では明らかに固体CaO粉末による直接脱Sが進むようである。

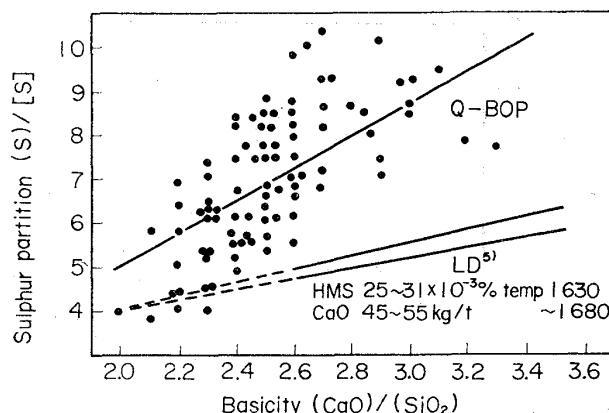


Fig. 16. Influence of basicity on sulphur partition⁴⁾.

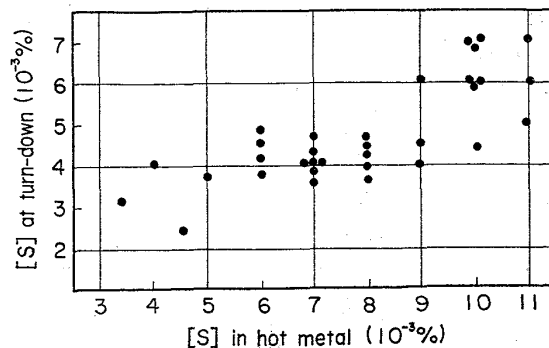


Fig. 17. Hot metal [S] vs. turn-down [S] relation⁴⁾.

前述の Thy-Marcinell における高 P 鋼吹鍊の場合, CaO 原単位が高いためか, 脱 S 能への塩基度の影響は認められていない⁷⁾. 脱 P の項で述べた CaO 添加法の異なる A 法と B 法について, 吹き止め時の $[S]/[S]$ をみると, A 法が 6.3, B 法が 8.9 と, 前, 後期分割添加の B 法が約 0.002% だけ低 $[S]$ となる.

4.6 ガス成分 [N] および [H]

脱炭後期でも鋼浴の攪拌が持続するので, プロセス・ガスとしての N_2 の使用を控えれば, LD よりも低 N 鋼を得ることができる. その反面, プロセス・ガスとして N_2 を使用すれば窒化鋼の溶製が, 精度よくかつ安価にできる.

BROTMANN⁸⁾ は吹鍊中の [N] の挙動を理論的に検討している. MAXHÜTTE における 60 t OBM の標準的吹鍊パターンにおいて, 吹鍊中の [N] の活量係数 f_N ,

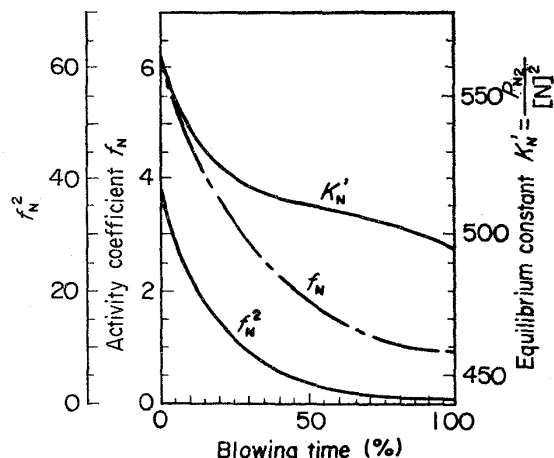


Fig. 18. Progress of the functions f_N , f_N^2 and K'_N during blowing⁸⁾.

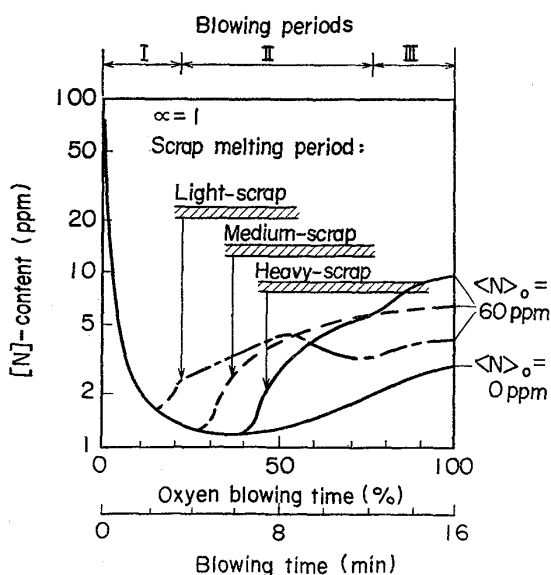


Fig. 19. Influence of the scrap melting period on the [N]-progress⁸⁾.

見かけの平衡定数 K'_N などは Fig. 18 のように変化する. これより脱 [N] 反応は吹鍊初期ほど有利に進むことが明らかである.

彼らは OBM/Q-BOP の吹き止め [N] 濃度を次式で与えている.

$$1/[N] = 1/[N]_0 + \theta_G \frac{\alpha K_N f_N^2}{8P} \dots\dots\dots (2)$$

ここに, $[N]_0$; 初期 [N] 濃度 (%), θ_G ; パージガス量 (Nm^3/t), $K_N = [N]f_N/\sqrt{P_{N_2}}$ および α ; 1 のとき熱力学的平衡値を示すパラメータで $0 < \alpha \leq 1$.

α を 1 とおいて理論的に計算した [N] 濃度の変化は Fig. 19 のように, スクラップの溶解速度が吹き止め, [N] 濃度を左右する. スクラップの全量を鉄鉱石に置き換えて, 吹き止めで 8ppm [N] を実際に得ている.

Fig. 20 は GARY 工場の取鍋 [N] を Q-BOP と LD で比較したものであり, Q-BOP の方が低 [N] 濃度となっている.

Fig. 21 は川鉄千葉の例¹⁾ で, 吹き止め時の [C] と [N] 濃度の関係を, LD と対比して示している. とくに低 C 域で, Q-BOP の [N] 濃度は LD より低い.

つぎに [H] であるが, Q-BOP の場合 [H] は羽口の冷却ガスから, 持ち込まれるので LD より高く, Q-

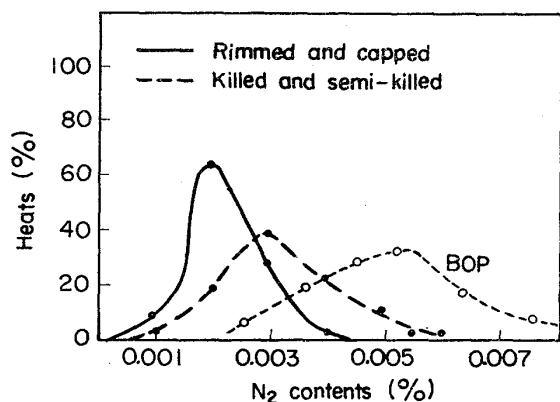


Fig. 20. [N] contents in ladle (200 t Q-BOP at Gary)²⁰⁾.

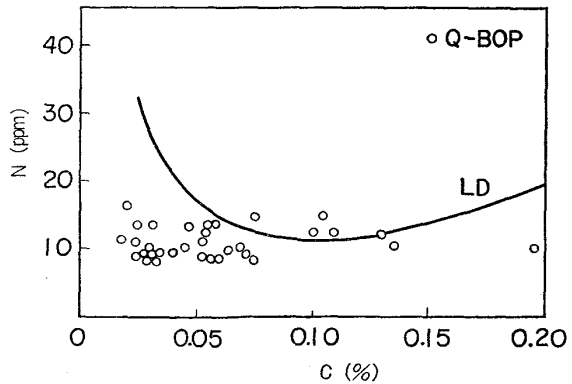


Fig. 21. [C] vs. [N] relationship at turn-down¹⁾.

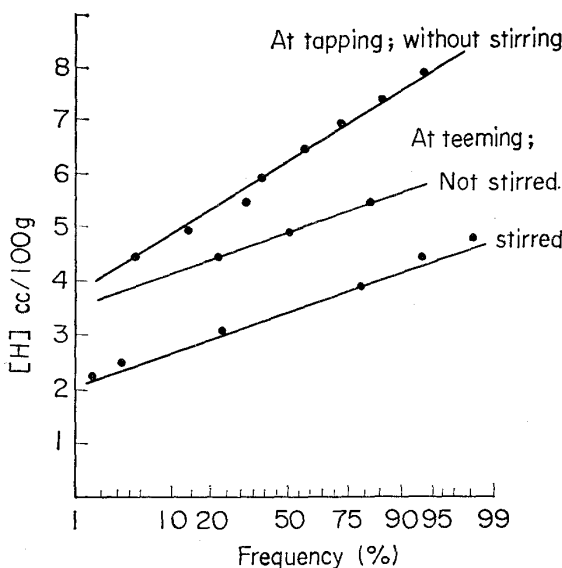


Fig. 22. [H] contents of 0.55%C killed steel in ladle after OBM steelmaking¹⁴⁾.

BOP の最大の欠点といえる。川鉄千葉の例では、LD 法が平均 2.6 ppm であるのに対し Q-BOP では 4.5 ppm と高い¹⁾。

OBM 転炉で高炭素鋼の取鍋 [H] を調査した例が、Fig. 22 であるが¹⁴⁾、これより吹き止め後 N₂あるいは Ar ガスなどでフラッシングすることにより、[H] 濃度は低下する。Fruehan¹⁶⁾は、Ar 気泡中の P_{H₂}と鋼浴 [H] が平衡するとして求まる理論最大脱 [H] 量を計算し、これが South Chicago の 30 t Q-BOP の実験値とよく合うとして、Fig. 23 を示している。川鉄千葉でも 1.6 Nm³/t の Ar ガスを使用して、平均して 4.5 ppm [H] から 2.5 ppm [H] を得ているが、この実績も Fruehan と同じ考え方でほぼ整理できる。

5. スロッピング、スピッティングなど

Thy-Marcinelle の経験によれば、スロッピングによぼす羽口数の影響は著しく強く、12本の傾斜羽口を使用していた頃には、炉口スカルが操業上大きなトラブルであったが、18 本の直立羽口で同量の O₂ を吹き込むようになって以来、これは一挙に解決したと述べている⁷⁾。これは最初に羽口設計を誤った例といえる。

一般的に羽口 1 本当りのガス流量を増していくと、平行管内の等エントロピー流れを仮定して解かれるガス流速は、やがては羽口出口で音速に達し飽和する。それ以後は羽口 1 本当りのガス流量の増加はガスの圧力増加を促し、スピッティングの危険度を増すのである。したがつて、羽口の設計は、この辺りの事情も考慮して十分慎重に行なわねばならない。

川鉄千葉の場合、18 本および 22 本羽口ともにスロッピングは皆無であり、当初の羽口設計が適確であつたといえよう。この他、LD と異なり 2000°C を越す火点が

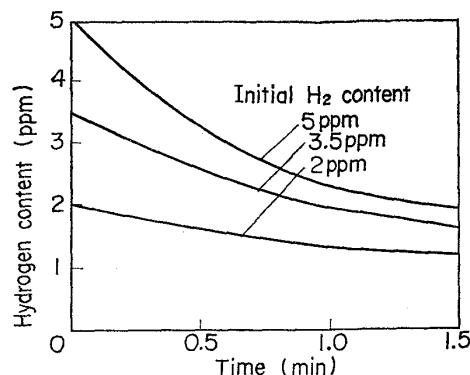


Fig. 23. Hydrogen removal at 1600°C in a 30 t Q-BOP using 54 NM³/min argon¹⁶⁾.

炉底部にあり、そこで一旦蒸発した Fe 分も、気泡の浮上と共に鋼浴中に戻されるため、排ガス中に逸出するダスト量が少ない。すなわち、LD の 7~10 kg/t に対し 2.5~4 kg/t が千葉 Q-BOP のダスト量である¹⁾。以上の効果が Q-BOP の高い鐵源歩止りを支える柱の一つとなつていて。

川鉄千葉の Q-BOP では、羽口冷却ガスとして燃料を添加しているとはいいうものの、OG ガス回収率の世界記録を塗り替えつつある(78 年 6 月に 248 × 10³ kcal/t 良塊)が、これもスロッピング、スピッティングがないためにスカートと炉口の間隔を、LD に比較して著しくせまく保つことができたことによつている。

5. LD との本質的な違い

LD, Q-BOP を問わず酸素製鋼炉の特徴は、反応物質である酸素ガス自体が、反応装置にとって重要な攪拌エネルギーの運び手でもあることといえる。攪拌が強ければ、鋼浴中の炭素の優先酸化が保証されるし、逆に攪拌が弱ければ、酸素は鋼浴内で局在して、鉄の酸化を引起し、その結果脱 P を促進するといった経過を辿る。

上述の観点から、C の優先酸化の度合を示すパラメータ、ISCO (Index for Selective Carbon Oxidation) 値が提案されている⁶⁾。

$$\text{ISCO} = (2Q_{O_2}/(2Q_{O_2} + Q_d))(Q_{O_2}/(W/\tau)) \dots (3)$$

ここに、Q_{O₂} は送酸素速度 (Nm³/min)、Q_d は Ar などの稀釈ガス流量 (Nm³/min) で、羽口冷却ガスがプロパンの場合、その 4 倍の値をとる、W は溶鋼量 (t)、および τ は浴の均一混合時間である。

(3) 式右辺の第 1 項は炉内 P_{CO} を与え、これが小さいほど C の優先酸化が保証される。また第 2 項は酸素流量、Q_{O₂} (Nm³/min) に対して溶鋼流量、W/τ (t/min) が対向し、これらの比が小さいほど、供給酸素は C により消費されやすく、C の優先酸化が保証される。

溶銑の温度、成分などの装入条件が同じ場合を考えると、ISCO 値が小さいほど、C の優先酸化が保証される

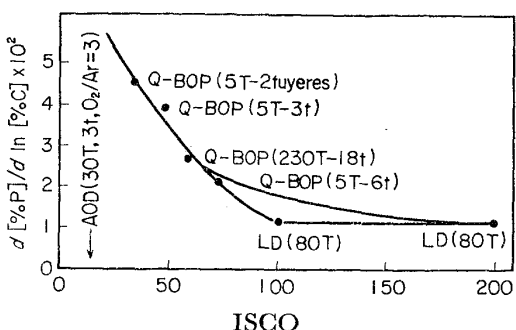


Fig. 24. Interpretation of oxydizing furnaces in terms of ISCO values⁶⁾.

一方、低炭域になつて初めて (FeO) の急増が起こり、これに伴つて脱 P が急速に進むであろう。すなわち吹鍊後期において、 $d[\%P]/d \log[\%C]$ なる勾配を求めれば、それが ISCO 値とよく対応するはずである。Fig. 24 は川鉄千葉の 230 t 炉、5 t 実験炉で得られたデータをもとに、本関係をプロットしたものであり、図には参考のため、AOD における ISCO 値も示されている。

これより Q-BOP の特徴を一言で表わせば、LD より強攪拌、強還元であり、その結果、ISCO 値が小さく、脱炭精錬器として優れている反面、脱 P はやや遅れて進行するといえる。ただし、先に脱 P 反応の項で述べたように、CaO 粉末吹き込みの効果は、0.4% P といった高 [P] 濃度の溶銑でとくに顕著となるが、そのような効果を考えぬ場合のことである。

6. 耐火物原単位、その他

川鉄千葉の Q-BOP が稼動するまでは、炉底耐火物の寿命が LD 法に比較して低いことが、最大の問題であつた。しかし川鉄の Q-BOP は稼動直後から着実に炉底寿命の世界記録を更新し始めた。現在、炉底寿命は、1646回をもマークし、現時点ですでに LD と遜色ないところまで到達したといえる¹⁷⁾。これは炉底耐火物の開発、施工方法の改善、炉底、羽口近辺の温度解析とそれにもとづく適正プロパン流量の管理、稼動中のメインテナンスと補修技術の向上などの総合効果として実現したもので、今や炉体耐火物原単位は(補修材を含めて) 2kg/t-steel を切つている。

このように耐火物原単位が飛躍的に向上した今一つの理由として忘れてならないのは、Q-BOP の吹鍊制御性がきわめて優れることである。すなわち、Q-BOP 炉内の均一性からセンサーランスによる中間サンプルの代表性が LD より遙かに高く、低炭素鋼の C, T 同時の中率は 90% 以上をマークしており、これが炉寿命延長に寄与する QDT 法 (Quick & Direct Tap; センサーランスの中間サンプルで吹き止めを決め、サンプルを採らずに直ちに出鋼する方法) の開発へと結びついたのである⁸⁾。

川鉄千葉の Q-BOP では底吹き転炉に適した脱炭昇

温式の開発、センサーランスの開発などをベースに、上記QDT法も包含したシステム、SMART (System for Measuring and Attaining the Refining Target) を確立しているが⁹⁾、これは、LD と異なりランス高さ、スラグ層を通しての酸素供給など、ヒート間で変動しやすい変数がなく、再現性がきわめて高いという Q-BOP の特長を根底に成り立つている。

7. 結 言

以上述べてきたように、Q-BOP のメリットである、① 鉄源歩止りの向上、② Fe-Mn, Al など合金鉄の削減、③ 焼石灰の削減、④ 脱 S 剤の削減、⑤ O₂ 原単位の削減および⑥ OG ガス回収率向上などの合計が、Q-BOP のデメリット、① プロパン消費、② Ar, N₂ などのプロセスガス消費などの合計を上回り、Q-BOP は LD より優位であるという評価も固まりつつある。

とくに今後の転炉スラグのリサイクリング、あるいは原料事情の悪化による溶銑 P の上昇に対処する場合、Q-BOP の経済性は益々強まるのではないかろうか。

文 献

- 1) 川名昌志: 鉄鋼界, (1978), 1, pp. 56 ~ 61
- 2) 川名昌志, 岡崎有登, 永井 潤, 香月淳一, 田中貞治, 駒村宏一, 山田純夫: 鉄と鋼, 64(1978), S. 165
- 3) 川名昌志, 岡崎有登, 永井 潤, 数土丈夫, 馬田一, 中西恭二: 鉄と鋼, 64(1978), S. 166
- 4) 川名昌志, 岡崎有登, 永井 潤, 数土丈夫, 朝穂隆一, 鈴木健一郎: 鉄と鋼, 64(1978), S. 167
- 5) 中西恭二, 鈴木健一郎, 別所永康, 仲村秀夫, 馬田一: 鉄と鋼, 64(1978), S. 168
- 6) 中西恭二, 加藤嘉英, 鈴木健一郎, 香月淳一: 鉄と鋼, 64(1978), S. 169
- 7) J. R. CLAES and P. H. DAUBY: I & SM(1978) May, pp. 17~22
- 8) K. BROTHZMANN and D. PAPAMANTELLOS: I & SM (1978) May, p. 23~27
- 9) D. H. HUFFLE and L. W. FRECH: I & SM (1977) May, pp. 24~29
- 10) 江島彬夫, 三木本貢治: 日本金属学会報, 17 (1978), No. 6, pp. 483~489
- 11) J. PEARCE: Iron Steel Eng., 53(1976), March 27
- 12) 土居襄編: 転炉製鋼法, (1966), p. 109 [日刊工業新聞社]
- 13) E. T. TURKDOGAN: Trans. Inst. Min. Met., 83 (1974), C 67
- 14) J. CLAES, J. DEFAYS, and P. DAUBY: Met. Rept. CRM, No. 41 (1974), Dec., p. 13
- 15) 吉井正孝, 一戸正良: 鉄と鋼, 56 (1970), No. 2, p. 178
- 16) R. J. FRUEHAN: Ironmaking and Steelmaking, (1976) No. 3, p. 33
- 17) 永井 潤, 数土丈夫, 香月淳一, 馬田 一, 石坂邦彦: 鉄と鋼, 64 (1978), S. 139
- 18) 三枝 誠, 永井 潤, 数土丈夫, 山田純夫: 鉄と鋼, 64 (1978), S.
- 19) 永井 潤, 数土丈夫, 山田純夫, 森 淳, 中西恭二, 別所永康, 土田 剛: 鉄と鋼: 64(1978), S.
- 20) K. BROTHZMANN, W. T. LANKFORD Jr. and A. H. BRISSE: Ironmaking & Steelmaking, (1976), 5, p. 259